

ВЫНУЖДЕННОЕ КОМБИНАЦИОННОЕ РАССЕЯНИЕ СВЕТА  
И РАЗРУШЕНИЕ В МОНОКРИСТАЛЛЕ КАЛЬЦИТА

А. Л. Кулрящева, Е. А. Морозова, М. М. Молченко

УДК 535.375

Исследована зависимость энергии первой стоксовой компоненты ИКР в кальците от энергии возбуждения. Сравнение полученной кривой с теоретической показало, что экспериментальная зависимость существенно отличается от экспоненциальной. Исследовано разрушение монокристалла кальцита под действием лазерного излучения при различной температуре образца.

В настоящей работе исследовалась зависимость энергии и длительности импульса первой стоксовой компоненты от плотности мощности возбуждающего излучения. Одновременно наблюдались разрушение кальцита и распределение интенсивности в поле возбуждающего излучения и ИКР света вблизи входной и выходной граней кристалла.

ИКР возбуждалось гигантским импульсом рубинового лазера, содержащим практически одну продольную моду (длительность импульса излучения двадцать наносек, ширина линии  $0,015 \text{ см}^{-1}$ , максимальная мощность 10 Мвт). Для устранения обратной связи последующего образца и лазера использовалась оптическая задержка длиной 4 м. Возбуждающее излучение фокусировалось в монокристалле кальцита линзой с фокусным расстоянием 235 мм. Ось кристалла совмещалась с направлением распространения возбуждающего излучения. Для устранения генерации на торцах входная грань кристалла была ориентирована под углом  $10^\circ$  по отношению к выходной грани. Кристалл охлаждался до температуры жидкого азота. При этом ИРМБ практически не возбуждалось, в то время как порог возбуждения ИКР заметно уменьшился. Энергия излучения измерялась с помощью приемника ЭЛУ-ИТ, сигнал с которого подавался на осциллограф И2-7. Применное устройство было предварительно проградуировано с помощью калориметриче-

кого измерителя КИ-1. Нужная длина волны выделялась стеклянными и интерференционными светофильтрами. Энергия возбуждающего излучения менялась с помощью нейтральных фильтров с известной про-

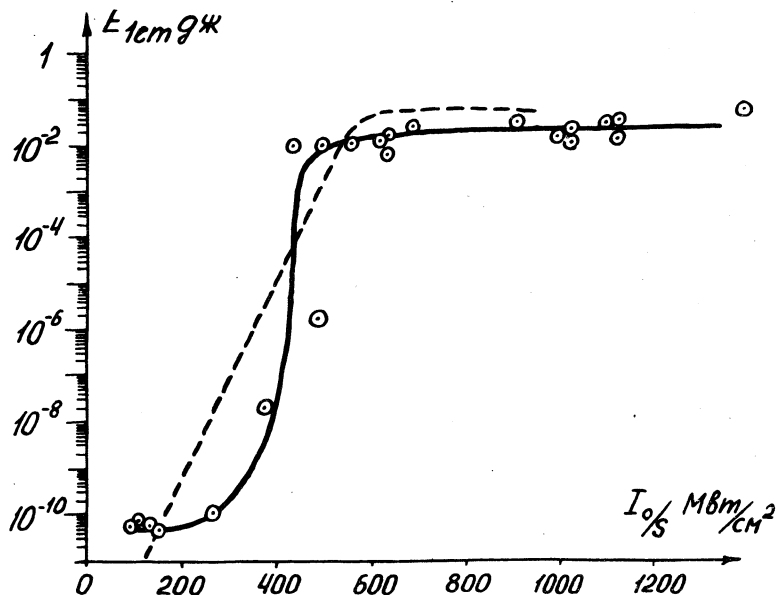


Рис. I. График зависимости энергии первой стоксовой компоненты ВКР в кальците от плотности мощности возбуждающего излучения.  
Сплошная кривая проведена по экспериментальным точкам, пунктир – расчет по формуле (I)

пускаемостью. Для исследования распределения интенсивности в поле возбуждающего излучения и ВКР на фотопластинки проектировались линзами увеличенные в 16 раз изображения плоскостей внутри кристалла вблизи входной и выходной граней.

Зависимость энергии первой стоксовой компоненты ВКР в кальците от плотности мощности возбуждающего излучения приведена на рис. I. По оси абсцисс отложена плотность мощности возбуждающего излучения, по оси ординат – энергия первой стоксовой компоненты ВКР в логарифмическом масштабе. Для приведенной зависимости ха-

рактерно не сколько областей: область медленного роста ВКР, область скачка, где интенсивность меняется на семь порядков, и область насыщения.

Зависимость интенсивности ВКР от интенсивности возбуждающего излучения и коэффициент усиления ВКР теоретически были получены рядом авторов /1-3/. На рисунке I наряду с нашей экспериментальной кривой приведена теоретическая зависимость энергии первой стоксовой компоненты ВКР в канале от плотности мощности возбуждающего излучения, вычисленная по формуле /3/:

$$I' = \frac{(\omega'/\omega)(n/n')^3 b \{ \exp[a(I_o + b)] - 1 \}}{1 + (b/I_o) \exp[a(I_o + b)]}, \quad (1)$$

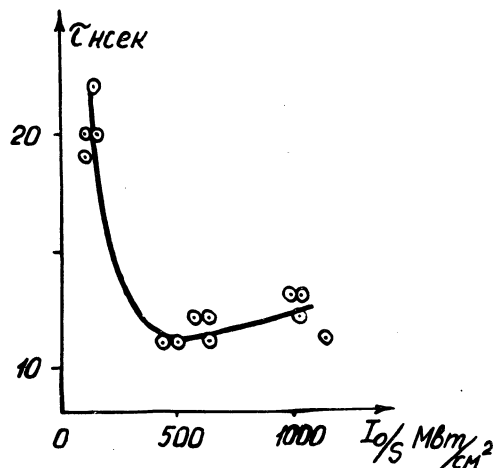
где  $I'$  - мощность излучения первой стоксовой компоненты ВКР,  $\omega'$ ,  $\omega$  - частоты первой стоксовой компоненты и возбуждающего излучения,  $n'$ ,  $n$  - показатели преломления для первой стоксовой компоненты и возбуждающего излучения,  $I_o$  - мощность возбуждающего излучения на входе в веществе.

$$a = \frac{4\pi\sigma N_o n^2 l}{\hbar\omega'^2 \delta s}, \quad b = \frac{\hbar\omega'^2 \delta s (n'/n)^3}{4\pi c l^2},$$

$\sigma$  - абсолютное сечение обычного КР,  $c$  - скорость света,  $N_o$  - число молекул в единице объема,  $\hbar$  - постоянная Планка,  $\delta$  - ширина линии обычного КР,  $z$  - площадь сечения канала, по которому распространяется излучение,  $\Omega$  - пространственный угол, в котором распространяется излучение в вакууме,  $l$  - толщина слоя рассеивающего вещества.

Для сравнения с экспериментальными данными мы наносили на график значения энергии первой стоксовой компоненты  $E_{1CT} = I' \tau$ ,  $\tau$  - длительность импульса ВКР. Из рисунка видно, что экспериментальная кривая не совпадает с теоретической. Полученная нами зависимость существенно отличается от экспоненциальной. Рассчитанный теоретически коэффициент усиления составляет 0,04 см/Мвт. Экспериментальные значения коэффициента усиления можно получить из наклона кривой. Вычисленный результат соответствует наклону кривой в области 300-400 см<sup>-2</sup>, при больших значениях плотности мощности возбуждения экспериментальная величина коэффициента усиления значительно больше теоретической.

Мы исследовали также зависимость длительности импульса первой стоксовой компоненты от плотности мощности возбуждающего излучения. График зависимости приведен на рисунке 2. Импульс имел гладкую форму. Длительность измерялась на половине максимальной



Р и с. 2. График зависимости длительности импульса первой стоксовой компоненты ИКР от плотности мощности возбуждающего излучения

высоты импульса. В области малых энергий ИКР длительность импульса максимальна и приблизительно равна длительности импульса возбуждающего излучения. В области скачка энергии ИКР она уменьшалась до 11 сек. В области насыщения длительность импульса несколько возрасла.

Аналогичная зависимость энергии и длительности импульса первой стоксовой компоненты от плотности мощности возбуждающего излучения наблюдалась рядом авторов в различных веществах при существенно отличающихся условиях эксперимента /2-5/. В работе /2/ для возбуждения ИКР в кальциите использовался многомодовый лазер, не устранившись явление ВРМБ и обратная связь вещества с лазером. Однако кривая зависимости энергии первой стоксовой компоненты ИКР в кальциите от плотности мощности возбуждающего излучения имела вид,

подобный полученной нами кривой, и измеренный коэффициент усиления ВКР для области кривой до скачка энергии совпадал с полученным в настоящей работе. Наконец, в жидким азоте, кислороде /3,4/ и порошке стильтбена /5/ при возбуждении ВКР одномодовым лазером в небольшом интервале энергий возбуждения наблюдался скачок интенсивности ВКР на 3–5 порядков.

Происхождение такой зависимости в настоящее время не получило достаточно полного объяснения. Ряд авторов считают, что быстрый рост коэффициента усиления вызван наличием обратной связи за счет оптической неоднородности активного вещества (порошки, жидким азотом), явления БРМБ или ВКР, распространяющегося в направлении, противоположном возбуждающему излучению.

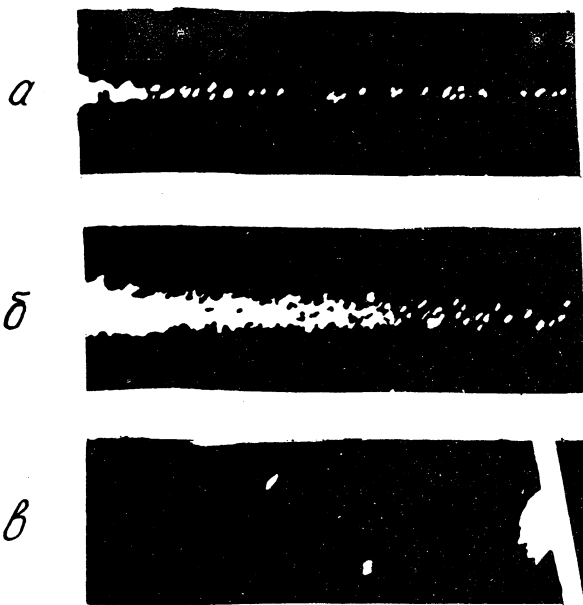
В наших экспериментах монокристалл кальцита был однороден, и обратная связь за счет БРМБ устранилась его охлаждением. Интенсивность первой отоксовой компоненты в направлении возбуждения была в пять раз больше интенсивности в противоположном направлении. По-видимому, генерации при ВКР не возникало.

С скачком интенсивности ВКР может быть связан с самофокусировкой возбуждающего излучения. Однако исследования распределения интенсивности в ближнем поле показали, что самофокусировка возбуждающего излучения не имела места. Напротив, в поле ВКР наблюдались отчетливо точки самофокусировки как у входной, так и у выходной грани кристалла. По-видимому, благодаря большому коэффициенту преобразования достигался порог самофокусировки ВКР света /6/.

Под действием лазерного излучения при определенных условиях в кристалле кальцита возникали разрушения. Наблюдались либо локальные разрушения, либо цепочка выколотов, ориентированных по плоскостям роста кристалла. Если возбуждающее излучение фокусировалось вблизи передней грани кристалла, возникало свечение, напоминающее искру. В этом случае ВКР не возбуждалось, а спектр излучения был сплошным с рядом максимумов. Без кристалла свечения в фокусе линзы не наблюдалось.

На рисунке 3 представлены фотографии разрушений кристалла при различных температурах при плотности мощности возбуждающего излучения 1200 Мвт/см<sup>2</sup>. Максимальные разрушения возникали в образце при комнатной температуре. При нагревании кристалла от +20°С до +150°С характер разрушений не менялся, а диаметр треков умень-

шался от 500 мкм до 200 мкм. При температуре жидкого азота разрушения или совсем не возникали или имели вид отдельных выколов внутри кристалла или у его выходной грани (на рис. 3 выходная грань видна как светлая наклонная полоса).



Р и с. 3. Фотографии разрушений кристалла кальцита под действием лазерного излучения при различных температурах:  
а)  $+150^{\circ}\text{C}$ ; б)  $+20^{\circ}\text{C}$ ; в)  $-196^{\circ}\text{C}$

Наблюдаемые нами разрушения кальцита, по-видимому, не связаны с самофокусировкой ВКР света. Самофокусировка первой стоксовой компоненты ИКР наблюдалась во всех случаях, независимо от вида разрушений, в частности, при  $-196^{\circ}\text{C}$ , когда разрушения практически не возникали. При высокой температуре существенное влияние могут оказывать другие нелинейные процессы, конкуренция которых может привести к наблюдаемой зависимости величины и характера разрушений от температуры /7/.

В заключение авторы выражают глубокую благодарность А. И. Соколовской за постоянное внимание и помощь в работе.

Поступила в редакцию  
6 сентября 1973 г.

### Л и т е р а т у р а

1. N. Bloembergen. Amer. J. Phys., 25, 989 (1967).
2. В. Н. Луговой. "Введение в теорию вынужденного комбинационного рассеяния света". Изд. "Наука". Москва, 1968 г.
3. М. М. Сущинский. "Спектр комбинационного рассеяния молекул и кристаллов". Изд. "Наука", Москва, 1969 г.
4. G. Bisson, G. Mayer. Journal de Physique, 29, 97 (1968).
5. J. B. Grun, A. K. McQuillan, B. P. Stoicheff. Phys. Rev., 180, 179 (1969).
6. Е. К. Казакова, А. В. Крайский, В. А. Зубов, М. М. Сущинский, И. К. Шувалов. Краткие сообщения по физике ФИАН, № 7, 42 (1970).
7. Г. В. Перегудов, Е. Н. Рагозин, В. А. Чирков. ЖЭТФ, 53, 421 (1972).
8. А. Д. Кудрявцева, А. И. Соколовская, М. М. Сущинский. ЖЭТФ, 53, 1556 (1970).
9. В. С. Старунов, И. Л. Фабелинский. УФН, 98, 442 (1969).